

INVESTIGACIÓN MATEMÁTICA Y NUMÉRICA DE LA ECUACIÓN DE LANE-EMDEN

Trabajo de Fin de Grado

Jesús Octavio Raboso

Tutor: Uwe Brauer

Universidad Complutense de Madrid
Facultad de Ciencias Matemáticas

28 de febrero de 2021

- ① Motivación
- ② La ecuación de Lane-Emden
- ③ Soluciones analíticas de la ecuación de Lane-Emden
- ④ Métodos espectrales
 - Polinomios de Chebyshev
 - Métodos pseudoespectrales
- ⑤ Soluciones numéricas de la ecuación de Lane-Emden
 - Método de linealización sucesiva (SLM)
 - Método de quasi-linealización (QLM)
- ⑥ Conclusiones y trabajo futuro
- ⑦ Bibliografía seleccionada

- ① Motivación
- ② La ecuación de Lane-Emden
- ③ Soluciones analíticas de la ecuación de Lane-Emden
- ④ Métodos espectrales
 - Polinomios de Chebyshev
 - Métodos pseudoespectrales
- ⑤ Soluciones numéricas de la ecuación de Lane-Emden
 - Método de linealización sucesiva (SLM)
 - Método de quasi-linealización (QLM)
- ⑥ Conclusiones y trabajo futuro
- ⑦ Bibliografía seleccionada

Motivación

- ▶ Métodos numéricos para resolver problemas en otras áreas científicas.
- ▶ Métodos espectrales (*globales*) vs. métodos de diferencias finitas, métodos de elementos finitos (*locales*).

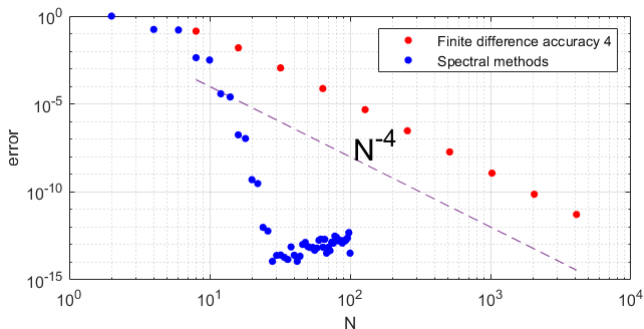


Figura: Dada $u(x) = e^{\sin(x)}$, comparación del error entre su derivada exacta $w(x) = \cos(x)e^{\sin(x)}$ y la aproximación del método de diferencias finitas de orden 4 (rojo) y del método espectral (azul).

- ① Motivación
- ② La ecuación de Lane-Emden
- ③ Soluciones analíticas de la ecuación de Lane-Emden
- ④ Métodos espectrales
 - Polinomios de Chebyshev
 - Métodos pseudoespectrales
- ⑤ Soluciones numéricas de la ecuación de Lane-Emden
 - Método de linealización sucesiva (SLM)
 - Método de quasi-linealización (QLM)
- ⑥ Conclusiones y trabajo futuro
- ⑦ Bibliografía seleccionada

Ecuación de Lane-Edmen

La **ecuación de Lane-Edmen** de índice politrópico $n \in [0, 5]$ consiste en un PVI para una EDO no lineal de orden dos:

$$\frac{d^2\theta}{d\xi^2} + \frac{2}{\xi} \frac{d\theta}{d\xi} + \theta^n = 0, \quad \theta(0) = 1, \quad \theta'(0) = 0. \quad (1)$$

Su solución $\theta_n(\xi)$ describe:

- ▶ una familia de soluciones estáticas del sistema Euler-Poisson,
- ▶ con simetría esférica,
- ▶ con auto-gravitación,
- ▶ con equilibrio hidrostático,
- ▶ con una ecuación de estado politrópico.

- ① Motivación
- ② La ecuación de Lane-Emden
- ③ Soluciones analíticas de la ecuación de Lane-Emden
- ④ Métodos espectrales
 - Polinomios de Chebyshev
 - Métodos pseudoespectrales
- ⑤ Soluciones numéricas de la ecuación de Lane-Emden
 - Método de linealización sucesiva (SLM)
 - Método de quasi-linealización (QLM)
- ⑥ Conclusiones y trabajo futuro
- ⑦ Bibliografía seleccionada

Interés de las soluciones: el primer cero positivo $\xi = \xi_1$ de $\theta_n(\xi)$ determina parámetros de la estrella como su masa y radio.

► Soluciones exactas:

n	0	1	5
$\theta_n(\xi)$	$1 - \frac{1}{6}\xi^2$	$\frac{\sin(\xi)}{\xi}$	$\frac{1}{(1 + \frac{1}{3}\xi^2)^{\frac{1}{2}}}$
$\xi = \xi_1$	$\sqrt{6}$	π	$+\infty$

► Solución en serie de potencias para ξ suficientemente pequeño:

$$\theta_n(\xi) = 1 - \frac{1}{6}\xi^2 + \frac{n}{120}\xi^4 - \frac{n(8n-5)}{15120}\xi^6 + \frac{n(122n^2 - 183n + 70)}{3265920}\xi^8 + \dots \quad (2)$$

- ① Motivación
- ② La ecuación de Lane-Emden
- ③ Soluciones analíticas de la ecuación de Lane-Emden
- ④ Métodos espectrales
 - Polinomios de Chebyshev
 - Métodos pseudoespectrales
- ⑤ Soluciones numéricas de la ecuación de Lane-Emden
 - Método de linealización sucesiva (SLM)
 - Método de quasi-linealización (QLM)
- ⑥ Conclusiones y trabajo futuro
- ⑦ Bibliografía seleccionada

- ① Motivación
- ② La ecuación de Lane-Emden
- ③ Soluciones analíticas de la ecuación de Lane-Emden
- ④ **Métodos espectrales**
 - Polinomios de Chebyshev
 - Métodos pseudoespectrales
- ⑤ Soluciones numéricas de la ecuación de Lane-Emden
 - Método de linealización sucesiva (SLM)
 - Método de quasi-linealización (QLM)
- ⑥ Conclusiones y trabajo futuro
- ⑦ Bibliografía seleccionada

Definición: polinomios de Chebyshev

Los **polinomios de Chebyshev** se definen por la condición:

$$T_n(x) = \cos(n \arccos(x)), \quad n \in \mathbb{N}, \quad x \in [-1, 1]. \quad (3)$$

Definición: nodos de Chebyshev

Dado $n \in \mathbb{N}$, los $n + 1$ **nodos de Chebyshev** se definen como los puntos en los que el polinomio de Chebyshev T_n alcanza sus extremos:

$$z_j = \cos\left(\frac{j\pi}{N}\right), \quad 0 \leq j \leq n. \quad (4)$$

Teorema: serie de Chebyshev

Si $f : [-1, 1] \rightarrow \mathbb{R}$ es una función Lipschitz continua, entonces posee una representación en serie de Chebyshev:

$$f(x) = \sum_{n=0}^{+\infty} a_n T_n(x) \quad (5)$$

donde:

$$a_0 = \frac{1}{\pi} \int_{-1}^1 \frac{f(x) T_0(x)}{\sqrt{1-x^2}} dx, \quad a_n = \frac{2}{\pi} \int_{-1}^1 \frac{f(x) T_n(x)}{\sqrt{1-x^2}} dx \quad (6)$$

para $n \geq 1$. Además, la serie es absoluta y uniformemente convergente.

Definición: convergencia algebraica

Los coeficientes a_n poseen **convergencia algebraica** de índice k si:

$$a_n \sim \mathcal{O}(n^{-k}), \quad n \gg 1. \quad (7)$$

Definición: convergencia exponencial

Los coeficientes a_n poseen **convergencia exponencial** si:

$$a_n \sim \mathcal{O}(\exp(-qn^r)), \quad n \gg 1, \quad r > 0, \quad q \text{ cte.} \quad (8)$$

Aproximamos mediante la serie truncada:

$$f_N(x) = \sum_{n=0}^N a_n T_n(x). \quad (9)$$

Teorema

Si los coeficientes convergen según $\mathcal{O}(n^{-k})$, entonces la serie truncada converge según $\mathcal{O}(N^{-k+1})$.

- ① Motivación
- ② La ecuación de Lane-Emden
- ③ Soluciones analíticas de la ecuación de Lane-Emden
- ④ **Métodos espectrales**
 - Polinomios de Chebyshev
 - Métodos pseudoespectrales**
- ⑤ Soluciones numéricas de la ecuación de Lane-Emden
 - Método de linealización sucesiva (SLM)
 - Método de quasi-linealización (QLM)
- ⑥ Conclusiones y trabajo futuro
- ⑦ Bibliografía seleccionada

Los métodos pseudoespectrales se basan en interpolaciones ponderadas:

$$\begin{aligned} f(x) &\approx p_N(x) = \sum_{j=0}^N \frac{\rho(x)}{\rho(x_j)} C_j(x) f_j, \\ f(x_i) &= p_N(x_i), \end{aligned} \tag{10}$$

donde:

- ▶ $\{x_i\}_{i=0}^N$: nodos,
- ▶ $f_j = f(x_j)$, $j = 0, \dots, N$,
- ▶ $\rho(x)$: función peso no negativa. Al menos ℓ veces diferenciable,
- ▶ $C_j(x_i) = \delta_{ji}$, $i, j = 0, \dots, N$: funciones cardinales.

Para hallar la ℓ -ésima derivada:

$$f^{(\ell)}(x_i) = \sum_{j=0}^N \frac{d^\ell}{dx^\ell} \left[\frac{\rho(x)}{\rho(x_j)} C_j(x) \right]_{x=x_i} f_j; \quad i = 0, \dots, N. \quad (11)$$

Representamos como una matriz de diferenciación $D^{(\ell)}$:

$$D_{ij}^{(\ell)} = \frac{d^\ell}{dx^\ell} \left[\frac{\rho(x)}{\rho(x_j)} C_j(x) \right]_{x=x_i}; \quad i, j = 0, \dots, N. \quad (12)$$

Diferenciación como operación matricial:

$$\mathbf{f}^{(\ell)} = D^{(\ell)} \mathbf{f}. \quad (13)$$

Funciones cardinales

La definición de las funciones cardinales C_j y los pesos ρ depende de los nodos elegidos y el problema.

En los nodos de Chebyshev (4):

$$\rho(x) = 1,$$

$$C_j(x) = (-1)^{j+1} \frac{(1-x^2)}{c_j N^2 (x-x_j)} \frac{dT_N}{dx}; \quad c_j = \begin{cases} 2, & j = 0, N \\ 1, & j = 1, \dots, N-1 \end{cases} \quad (14)$$

Distribución de nodos

- ▶ Problemas periódicos \Rightarrow nodos equiespaciados.
- ▶ Problemas no periódicos \Rightarrow nodos en redes irregulares.

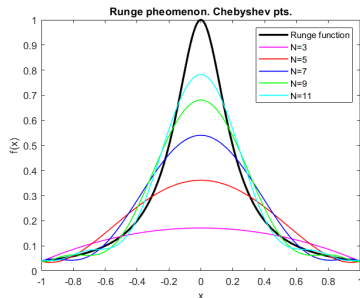
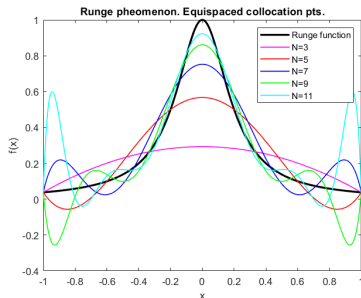


Figura: Interpolación de $1/(1+25x^2)$ en $N+1$ nodos, $N = 3, 5, 7, 9, 11$. Según aumenta N , las oscilaciones en los extremos del intervalo $[-1, 1]$ se acentúan en los nodos equiespaciados y se minimizan en los nodos de Chebyshev.

Teorema: precisión de la interpolación y derivación

Sean la función densidad $\mu(x)$ para los nodos en $[-1, 1]$ y el **potencial**:

$$\phi(z) = \int_{-1}^1 \mu(x) \log |z - x| dx. \quad (15)$$

- ▶ El interpolador $p_N(z)$ de $f(z)$ en N nodos converge a $f(z)$ en el interior de la mayor curva equipotencial de $\phi(z)$ que no contiene singularidades de $f(z)$ y diverge fuera.
- ▶ Dado z_0 sobre la mayor curva equipotencial:

$$|f(z) - p_N(z)| \leq Ce^{-N(\phi(z_0) - \phi(z))}. \quad (16)$$

La convergencia de $f^{(\ell)} - p_N^{(\ell)}$ se mantiene para la ℓ -ésima derivada $\ell \geq 1$.

Teorema: matriz de diferenciación de Chebyshev

Las entradas de $D^{(1)}$ se definen como:

$$D_{ij}^{(1)} = \frac{c_i}{c_j} \frac{(-1)^{i+j}}{(x_i - x_j)}, \quad i \neq j, \quad i, j = 0, \dots, N \quad (17)$$

$$D_{jj}^{(1)} = \frac{-x_j}{2(1 - x_j^2)}, \quad j = 1, \dots, N - 1 \quad (18)$$

$$D_{00}^{(1)} = \frac{2N^2 + 1}{6} = -D_{NN}^{(1)} \quad (19)$$

donde $c_j = 2$ para $j = 0, N$; $c_j = 1$ en otro caso.

Se verifica:

$$D^{(\ell)} = (D^{(1)})^\ell, \quad \ell \geq 2. \quad (20)$$

- 1 Motivación
- 2 La ecuación de Lane-Emden
- 3 Soluciones analíticas de la ecuación de Lane-Emden
- 4 Métodos espectrales
 - Polinomios de Chebyshev
 - Métodos pseudoespectrales
- 5 Soluciones numéricas de la ecuación de Lane-Emden
 - Método de linealización sucesiva (SLM)
 - Método de quasi-linealización (QLM)
- 6 Conclusiones y trabajo futuro
- 7 Bibliografía seleccionada

Consideremos un PVI de tipo Lane-Emden para $n \in [0, 5]$:

$$y''(r) + \frac{2}{r}y'(r) + y^n(r) = 0, \quad y(0) = 1, \quad y'(0) = 0. \quad (21)$$

Mediante el cambio $r = \xi x$, obtenemos un PC. Los puntos denotan las derivadas con respecto a x :

$$\begin{aligned} \ddot{y} + \frac{2}{x}\dot{y} + \xi^2 y^n &= 0, \\ y(0) = 1, \quad y(1) &= 0, \quad \dot{y}(0) = 0. \end{aligned} \quad (22)$$

Algunas observaciones sobre el problema (22):

- ▶ Singular en $x = 0$.
- ▶ Punto de ramificación en $x = 1$ cuando n no es entero.
- ▶ Problema de autovalor no lineal \rightarrow método de Newton-Kantorovich.
- ▶ EDO de orden dos pero tres condiciones de contorno.

- 1 Motivación
- 2 La ecuación de Lane-Emden
- 3 Soluciones analíticas de la ecuación de Lane-Emden
- 4 Métodos espectrales
 - Polinomios de Chebyshev
 - Métodos pseudoespectrales
- 5 Soluciones numéricas de la ecuación de Lane-Emden
 - Método de linealización sucesiva (SLM)
 - Método de quasi-linealización (QLM)
- 6 Conclusiones y trabajo futuro
- 7 Bibliografía seleccionada

Aplicando el SLM a (22) con $n \in [0, 5)$, aproximamos mediante:

$$\begin{aligned} y(x) &\approx y_k(x) + \sum_{m=0}^{k-1} y_m(x); & y_0(x) &= 1 - x^2, \\ \xi &\approx \xi_k + \sum_{m=0}^{k-1} \xi_m; & \xi_0^2 &= 6 \left(\frac{4}{3}\right)^n, \end{aligned} \tag{23}$$

donde $y_k, \xi_k, k = 1, 2, \dots$ se calcula en cada iteración.

Sustituyendo en (22) y despreciando términos no lineales en y_k , ξ_k :

$$\ddot{y}_k + \frac{2}{x} \dot{y}_k + a_{1,k-1} y_k + a_{2,k-1} \xi_k = r_{k-1}, \quad (24)$$

$$y_k(0) = 0, \quad y_k(1) = 0, \quad \dot{y}_k(0) = 0,$$

donde:

$$a_{1,k-1} = n \left(\sum_{m=0}^{k-1} \xi_m \right)^2 \left(\sum_{m=0}^{k-1} y_m \right)^{n-1} ; \quad a_{2,k-1} = 2 \left(\sum_{m=0}^{k-1} \xi_m \right) \left(\sum_{m=0}^{k-1} y_m \right)^n ;$$

$$r_{k-1} = - \left[\sum_{m=0}^{k-1} \ddot{y}_m + \frac{2}{x} \sum_{m=0}^{k-1} \dot{y}_m + \left(\sum_{m=0}^{k-1} \xi_m \right)^2 \left(\sum_{m=0}^{k-1} y_m \right)^n \right]. \quad (25)$$

Empleamos $N + 1$ nodos de Chebyshev:

$$z_j = \cos\left(\frac{j\pi}{N}\right), \quad 0 \leq j \leq N. \quad (26)$$

Transformamos $[-1, 1]$ en $[0, 1]$ mediante:

$$x = \frac{z + 1}{2}, \quad -1 \leq z \leq 1. \quad (27)$$

Las derivadas en los nodos se calculan mediante:

$$\begin{aligned} \dot{y}_k(z_i) &= \sum_{j=0}^N D_{ij}^{(1)} y_k(z_j) = D^{(1)} \mathbf{y}_k; \quad \ddot{y}_k(z_i) = \sum_{j=0}^N D_{ij}^{(2)} y_k(z_j) = D^{(2)} \mathbf{y}_k, \\ \mathbf{y}_k &= (y_k(z_0), y_k(z_1), \dots, y_k(z_{N-1}), y_k(z_N))^T. \end{aligned} \quad (28)$$

Aplicando el método pseudoespectral de Chebyshev:

$$A_{k-1}\mathbf{y}_k + B_{k-1}\xi_k = \mathbf{r}_{k-1},$$

$$y_k(z_0) = 0, \quad y_k(z_N) = 0, \quad \sum_{j=0}^N D_{Nj}^{(1)} y_k(z_j) = 0. \quad (29)$$

Los componentes del sistema son:

$$\mathbf{r}_{k-1} = [r_{k-1}(z_0), r_{k-1}(z_1), \dots, r_{k-1}(z_{N-1}), r_{k-1}(z_N)]^T,$$

$$A_{k-1} = 4D^{(2)} + \left[\frac{4}{x} \right]_d D^{(1)} + \mathcal{A}_{1,k-1},$$

$$\mathcal{A}_{1,k-1} = \text{diag}[a_{1,k-1}(x_0), a_{1,k-1}(x_1), \dots, a_{1,k-1}(x_N)], \quad (30)$$

$$\left[\frac{4}{x} \right]_d = \text{diag} \left[\frac{4}{x_0}, \frac{4}{x_1}, \dots, \frac{4}{x_N} \right],$$

$$B_{k-1} = \mathbf{a}_{2,k-1} = [a_{2,k-1}(x_0), a_{2,k-1}(x_1), \dots, a_{2,k-1}(x_N)]^T.$$

Añadimos una fila para imponer la condición de Neumann:

$$\left(\begin{array}{c|c} A_{k-1} & B_{k-1} \\ \hline D_{N,0}^{(1)} \dots D_{N,N}^{(1)} & 0 \end{array} \right) \begin{pmatrix} \mathbf{y}_k \\ \xi_k \end{pmatrix} = \begin{pmatrix} \mathbf{r}_{k-1} \\ 0 \end{pmatrix}. \quad (31)$$

Sistema reducido imponiendo $y_k(z_0) = 0$, $y_k(z_N) = 0$:

$$\begin{pmatrix} \tilde{\mathbf{y}}_k \\ \xi_k \end{pmatrix} = \left(\begin{array}{c|c} \tilde{A}_{k-1} & \tilde{B}_{k-1} \\ \hline D_{N,1}^{(1)} \dots D_{N,N-1}^{(1)} & 0 \end{array} \right)^{-1} \begin{pmatrix} \tilde{\mathbf{r}}_{k-1} \\ 0 \end{pmatrix}. \quad (32)$$

Soluciones numéricas

Método de linealización sucesiva (SLM): Resultados numéricos

Iters	$n = 1,$	$N = 40$	$n = 4,$	$N = 70$
	[MS12]	MATLAB	[MS12]	MATLAB
1	3.103790966018498	2.6341367008033	8.688676175146224	4.89038753219843
2	3.141338575299632	2.60213962196307	11.771827678456009	5.54919237281599
3	3.141592635714092	2.7767744772013	13.886237798409815	6.9533215991505
4	3.141592653589793	2.96012873489967	14.817460536386396	9.09147362718468
5	3.141592653589793	3.13757800588699	14.967975594173165	12.2995094590568
6	3.141592653589793	3.30945992557257	14.971544376671904	17.2260580659467
7	3.141592653589793	3.47608443713469	14.971546348837493	24.9366702246662
8	3.141592653589793	3.63753587669435	14.971546348838095	37.0798854921755

Cuadro: Comparación del autovalor (ξ) entre [MS12] y la implementación en MATLAB del SLM.

- ① Motivación
- ② La ecuación de Lane-Emden
- ③ Soluciones analíticas de la ecuación de Lane-Emden
- ④ Métodos espectrales
 - Polinomios de Chebyshev
 - Métodos pseudoespectrales
- ⑤ Soluciones numéricas de la ecuación de Lane-Emden
 - Método de linealización sucesiva (SLM)
 - Método de quasi-linealización (QLM)
- ⑥ Conclusiones y trabajo futuro
- ⑦ Bibliografía seleccionada

Asumimos que la solución de (22) puede aproximarse como:

$$\begin{aligned} y(x) &\approx y_k(x) + \delta_k(x), \quad \xi \approx \xi_k + \epsilon_k, \\ |\delta_k(x)|_\infty &\ll |y_k(x)|_\infty, \quad |\epsilon_k| \ll \xi_k. \end{aligned} \tag{33}$$

Sustituyendo en (22) y despreciando términos no lineales en δ_k obtenemos un PC asumiendo que $y_k(x)$ se conoce de iteraciones previas:

$$\begin{aligned} \ddot{\delta}_k + \frac{2}{x} \dot{\delta}_k + n \xi_k^2 y_k^{n-1} \delta_k &= - \left\{ \ddot{y}_k + \frac{2}{x} \dot{y}_k + \xi^2 y_k^n \right\}, \\ \delta_k(0) &= 0, \quad \delta_k(1) = 0, \quad \dot{\delta}_k(0) = 0. \end{aligned} \tag{34}$$

Para $n \in [0, 5)$, escogemos la aproximación inicial:

$$y_0(x) = \cos\left(\frac{\pi}{2}x\right), \quad \xi_0 = 3. \quad (35)$$

Discretizamos $[0, 1]$ tomando N nodos $\{x_j\}_{j=0}^{N-1}$:

$$x_j = \frac{1}{2} [1 + \cos(t_j)], \quad t_j = \pi \frac{j}{N-1}. \quad (36)$$

Aproximamos mediante la serie truncada de Chebyshev:

$$y(x) = \sum_{m=0}^{N-1} a_m T_m(x). \quad (37)$$

Soluciones numéricas

Método de quasi-linealización (QLM)

Definimos las matrices de diferenciación en $[0, 1]$:

$$D_{ij}^{(0)} = T_j(2x_i - 1) = \cos(j \cdot t_i), \quad (38)$$

$$D_{ij}^{(1)} = \frac{d}{dx} T_j(2x_i - 1) = 2j \frac{\sin(j \cdot t_i)}{\sin(t_i)}, \quad (39)$$

$$D_{ij}^{(2)} = \frac{d^2}{dx^2} T_j(2x_i - 1) = 4 \left[-j^2 \frac{\cos(j \cdot t_i)}{\sin^2(t_i)} + j \frac{\sin(j \cdot t_i) \cos(t_i)}{\sin^3(t_i)} \right]. \quad (40)$$

para $i = 1, \dots, N - 2, j = 0, 1, \dots, N - 1$.

Cuando $|x| \rightarrow 1$:

$$D_{0,j}^{(0)} = 1$$

$$D_{N-1,j}^{(0)} = (-1)^j$$

$$D_{0,j}^{(1)} = 2j^2$$

$$D_{N-1,j}^{(1)} = 2(-1)^j j^2$$

$$D_{0,j}^{(2)} = \frac{4j^2(j^2 - 1)}{3}$$

$$D_{N-1,j}^{(2)} = \frac{4(-1)^j j^2(j^2 - 1)}{3}.$$

para $j = 0, 1, \dots, N - 1$.

Sean:

- ▶ $\mathbf{a}_k = (a_{k,0}, a_{k,1}, \dots, a_{k,N-1})$: vector que contiene los coeficientes en la iteración k ,
- ▶ ξ_k : autovalor en la iteración k ,
- ▶ $\delta_k = (\mathbf{a}_k, \xi_k)^T$: vector de incógnitas,
- ▶ J : matriz jacobiana,
- ▶ \mathbf{r} : vector residuo.

En cada iteración hay que resolver el sistema:

$$J\delta_k = -\mathbf{r}. \quad (41)$$

Dado $\mathbf{y}_0 = (y_0(x_0), y_0(x_1), \dots, y_0(x_{N-1}))^T$, calculamos \mathbf{a}_0 resolviendo:

$$D^{(0)}\mathbf{a}_0 = \mathbf{y}_0. \quad (42)$$

Inicializamos:

$$\begin{aligned} \mathbf{a} &:= \mathbf{a}_0 \\ \xi &:= \xi_0. \end{aligned} \quad (43)$$

Los vectores de dimensión N que contienen los valores de $y(x)$ y sus dos primeras derivadas en los nodos (36) resultan:

$$\mathbf{y} = (y(x_0), y(x_1), \dots, y(x_{N-1}))^T = D^{(0)}\mathbf{a}, \quad (44)$$

$$\dot{\mathbf{y}} = (\dot{y}(x_0), \dot{y}(x_1), \dots, \dot{y}(x_{N-1}))^T = D^{(1)}\mathbf{a}, \quad (45)$$

$$\ddot{\mathbf{y}} = (\ddot{y}(x_0), \ddot{y}(x_1), \dots, \ddot{y}(x_{N-1}))^T = D^{(2)}\mathbf{a}. \quad (46)$$

El jacobiano en el sistema (41) se define como:

$$J_{ij} = D_{i+1,j}^{(2)} + \frac{2}{x_{i+1}} D_{i+1,j}^{(1)} + \xi^2 n y(x_{i+1})^{n-1} D_{i+1,j}^{(0)} \quad (47)$$

$$J_{N-2,j} = D_{0,j}^{(0)} \quad (48)$$

$$J_{N-1,j} = D_{N-1,j}^{(1)} \quad (49)$$

$$J_{N,j} = D_{N-1,j}^{(0)} \quad (50)$$

$$J_{i,N} = 2\xi_m y(x_{i+1})^n \quad (51)$$

$$J_{N-2,N} = J_{N-1,N} = J_{N,N} = 0, \quad (52)$$

para $i = 0, \dots, N-3$; $j = 0, \dots, N-1$.

El vector residuo $\mathbf{r} = (r_0, r_1, \dots, r_{N-1}, r_N)^T$ se define como:

$$\begin{aligned} r_j &= \ddot{y}_{j+1} + \frac{2}{x_{j+1}} \dot{y}(x_{j+1}) + \xi^2 y(x_{j+1})^n, \quad j = 0, \dots, N-3, \\ r_{N-2} &= r_{N-1} = 0, \\ r_N &= y(x_{N-1}) - 1. \end{aligned} \tag{53}$$

Resuelto (41) en cada iteración, actualizamos mediante:

$$\begin{aligned}\mathbf{a} &:= \mathbf{a} + \mathbf{a}_k \\ \xi &:= \xi + \xi_k.\end{aligned}\tag{54}$$

Soluciones numéricas

Método de quasi-linealización (QLM): Resultados numéricos

Referencia	Iters	$n = 1, N = 40$	$n = 2, N = 40$	$n = 3, N = 70$	$n = 4, N = 70$
[Boy11]		3.141592653589793	4.352874595946125	6.896848619376960	14.971546348838095
QLM MATLAB	1	3.128573972912787	4.000000521321349	4.950346675383282	5.929841151541709
	2	3.128573972912787	4.321055828745427	6.258900686749319	9.075857237855471
	4	3.141567726328371	4.352874580809430	6.895421554523372	14.014461246986226
	6	3.141592653589793	4.352874595946108	6.896848619376213	14.969287289066294
	8	3.141592653589793	4.352874595946108	6.896848619376255	14.971546348837167
	10	3.141592653589793	4.352874595946109	6.896848619376251	14.971546348837277

Cuadro: Comparación del autovalor (ξ) entre [Boy11] y la implementación en MATLAB del QLM.

Teorema: principio de Darboux

Para cualquier desarrollo en serie espectral de una función f , el comportamiento asintótico de sus coeficientes a_m cuando $m \rightarrow +\infty$ está determinado por las singulares de f en el plano complejo.

- Si no posee singularidades:

$$a_m \sim C \exp(-m \log(p)). \quad (55)$$

- $y(x)$ posee un punto de ramificación de orden $n + 2$ en $x = 1$ si n no es entero:

$$a_m \sim \frac{C}{m^{2n+5}}. \quad (56)$$

Soluciones numéricas

Método de quasi-linealización (QLM): Resultados numéricos

Solución exacta de (22) para $n = 0$:

$$y(x) = \frac{5}{8} - \frac{1}{2} T_1(2x - 1) - \frac{1}{8} T_2(2x - 1) = 1 - x^2. \quad (57)$$

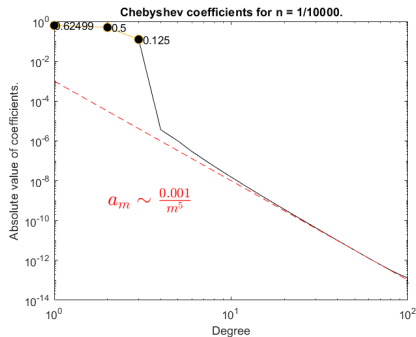


Figura: Coeficientes de Chebyshev para $n = 1/10000$. Los primeros coeficientes están marcados en discos negros. La perturbación causada por $n = 1/10000$ hace que los coeficientes de Chebyshev a partir de grado 3 no sean cero.

Soluciones numéricas

Método de quasi-linealización (QLM): Resultados numéricos

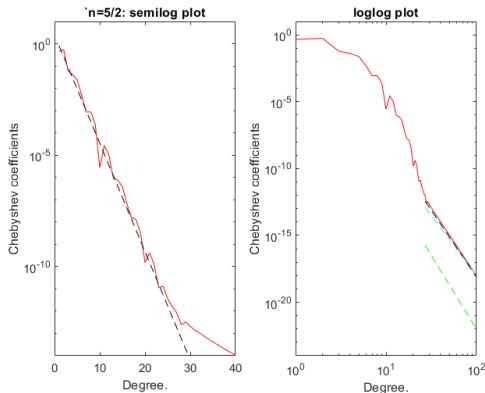


Figura: Coeficientes de Chebyshev para $n = 5/2$. El gráfico izquierdo usa escala lineal en *grados* y logarítmica para los coeficientes. El gráfico derecho es análogo pero con escala logarítmica en ambos ejes. Los coeficientes desde grado 27 a 400 son indistinguibles de $75m^{-10}$ (negro). Las otras líneas discontinuas son proporcionales a m^{-9} (azul), m^{-11} (verde).

Soluciones numéricas

Método de quasi-linealización (QLM): Resultados numéricos

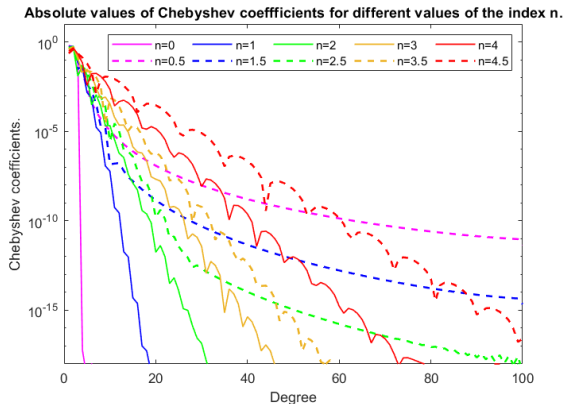


Figura: Valor absoluto de los coeficientes de Chebyshev para diez valores de n . Si n es entero, no hay singularidad y se mantiene la convergencia exponencial. Si n no es entero, poseen una cola algebraica proporcional a $m^{-(2n+5)}$.

- ① Motivación
- ② La ecuación de Lane-Emden
- ③ Soluciones analíticas de la ecuación de Lane-Emden
- ④ Métodos espectrales
 - Polinomios de Chebyshev
 - Métodos pseudoespectrales
- ⑤ Soluciones numéricas de la ecuación de Lane-Emden
 - Método de linealización sucesiva (SLM)
 - Método de quasi-linealización (QLM)
- ⑥ Conclusiones y trabajo futuro
- ⑦ Bibliografía seleccionada

- ▶ El algoritmo SLM.
- ▶ Otros métodos numéricos para resolver la ecuación de Lane-Emden.
- ▶ El método pseudoespectral de Chebyshev y el Análisis de Fourier.
- ▶ Otros métodos espectrales. Otras matrices de diferenciación.
- ▶ Profundización en la ecuación de Lane-Emden. Modelos relativistas.

- ① Motivación
- ② La ecuación de Lane-Emden
- ③ Soluciones analíticas de la ecuación de Lane-Emden
- ④ Métodos espectrales
 - Polinomios de Chebyshev
 - Métodos pseudoespectrales
- ⑤ Soluciones numéricas de la ecuación de Lane-Emden
 - Método de linealización sucesiva (SLM)
 - Método de quasi-linealización (QLM)
- ⑥ Conclusiones y trabajo futuro
- ⑦ Bibliografía seleccionada



J.P. Boyd. *Chebyshev and Fourier Spectral Methods*. Dover Publications, 2000.



J.P. Boyd. "Chebyshev Spectral Methods and the Lane-Emden Problem". En: *Numer. Math. Theory Methods Appl.* 4.2 (2011), págs. 142-157. ISSN: 1004-8979 (vid. pág. 42).



J. Binney y S. Tremaine. *Galactic Dynamics*. Princeton University Press, 1987.



S. Chandrasekhar. *An Introduction to the Study of Stellar Structure*. The University of Chicago Press, 1939.



B. Fornberg. *A Practical Guide to Pseudospectral Methods*. Cambridge University Press, 1998.



S.S. Motsa y S. Shateyi. "A Successive Linearization Method Approach to Solve Lane-Emden Type of Equations". En: *Mathematical Problems in Engineering* 2012 (oct. de 2012). DOI: 10.1155/2012/280702 (vid. pág. 31).



L.N. Trefethen. *Spectral Methods in MATLAB*. SIAM, 2000.